

14 de Mayo de 2021
Santiago, Chile.

Estimación de Corto Plazo de Utilización de Camas UCI

REPORTE N° 47

Leonardo J. Basso, PhD, Director ISCI – Profesor Titular FCFM Universidad de Chile
Marcel Goic, PhD, Investigador ISCI – Profesor Asistente FCFM Universidad de Chile
Mirko Bozanic – Data Scientist ISCI, Ingeniero Civil Industrial Universidad de Chile
Ignacia Segura – Data Scientist ISCI, Ingeniero Civil Industrial Universidad de Chile

Resumen Requerimientos Camas UCI por COVID-19 Todas las Regiones

Región	1 Semana	2 Semanas	Ocupación UCI (*)
Arica y Parinacota	+0	+0	90,7%
Tarapacá	-4	-6	91,0%
Antofagasta	-2	-3	90,7%
Atacama	-1	-2	87,4%
Coquimbo	-4	-6	90,8%
Valparaíso	-25	-48	96,2%
Metropolitana	-78	-134	95,6%
O'Higgins	-9	-18	81,1%
Maule	-8	-14	95,3%
Ñuble	-2	-3	89,2%
Biobío	-15	-26	89,7%
Araucanía	-3	-4	93,7%
Los Ríos	-2	-3	90,0%
Los Lagos	-2	-2	89,4%
Aysén	-1	-1	78,6%
Magallanes	-1	-1	82,4%
Totales Nacionales	-157	-271	93,5%

(*) Disponibilidad de camas críticas (promedio 7 días: 05/05/2021 al 11/05/2021)

Predicción de demanda de Camas UCI por COVID19 a 2 semanas – Región Metropolitana

14 de Mayo de 2021

3

Figura 1: Mejor predicción basada en cuatro modelos - RM

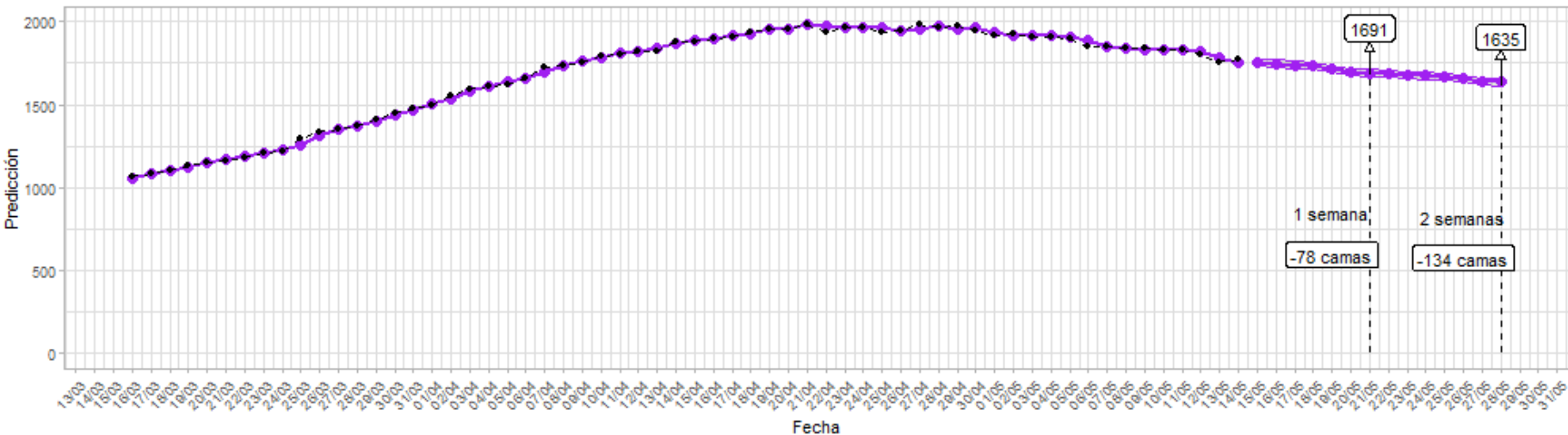
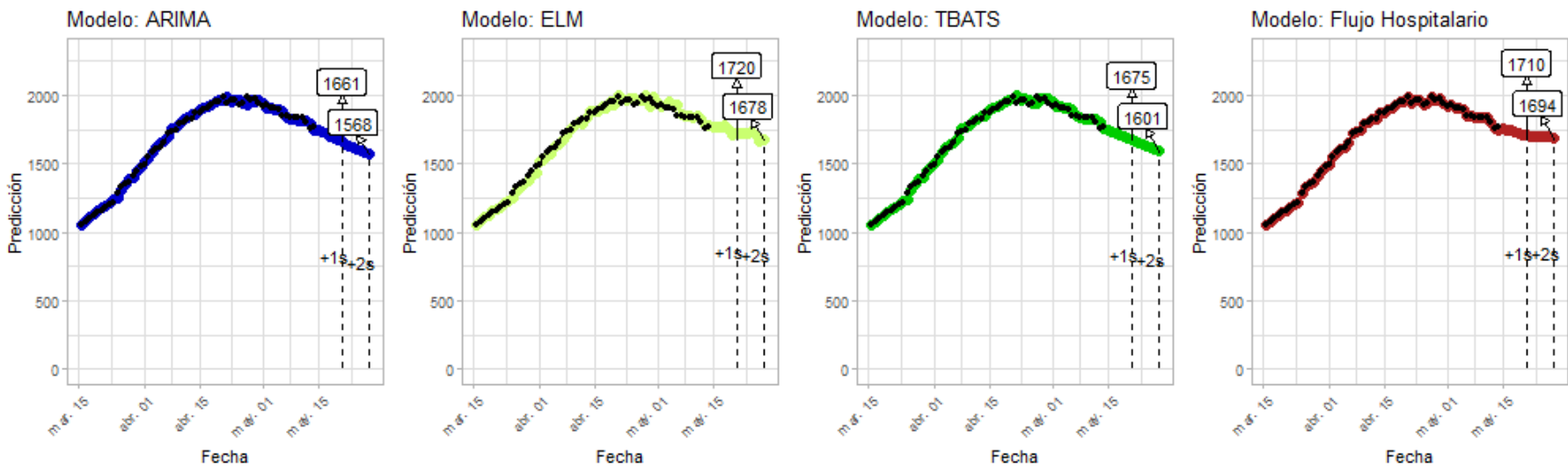


Figura 2: Predicciones de cuatro modelos - RM



Predicción de demanda de Camas UCI por COVID19 a 2 semanas – Arica y Parinacota

14 de Mayo de 2021

4

Figura 3: Mejor predicción basada en cuatro modelos – Arica y Parinacota

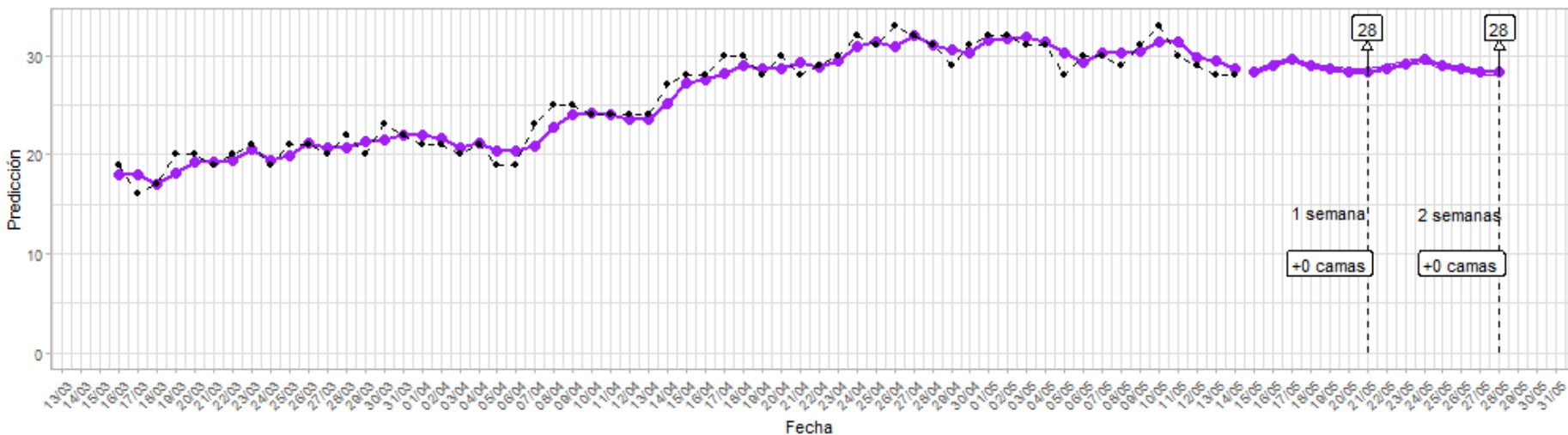
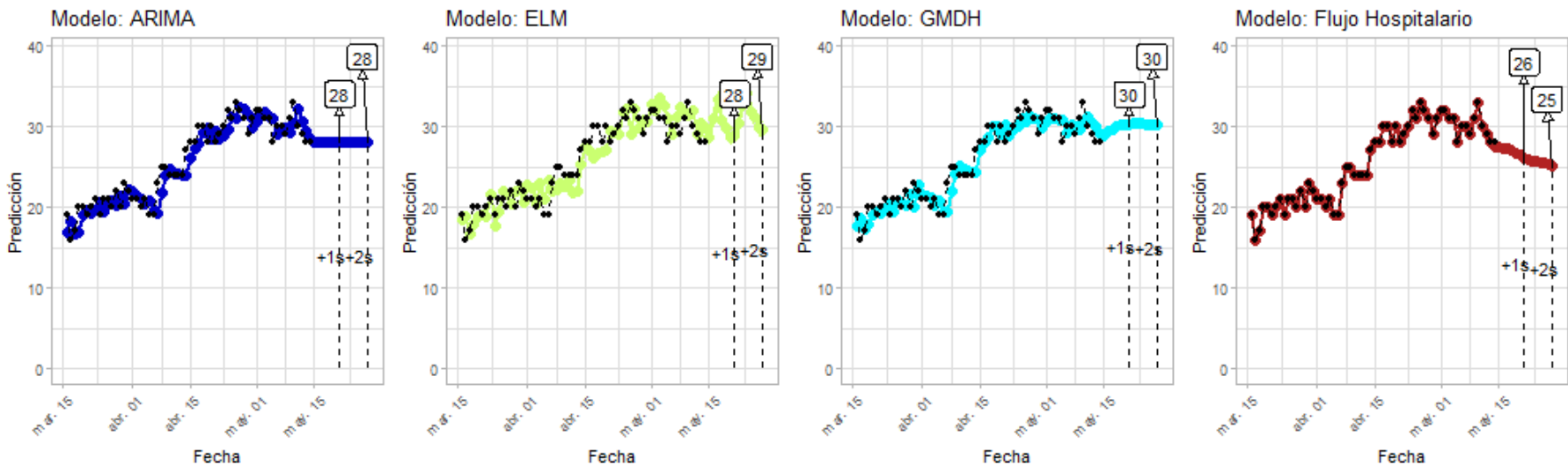


Figura 4: Predicciones de cuatro modelos – Arica y Parinacota



Predicción de demanda de Camas UCI por COVID19 a 2 semanas – Tarapacá

14 de Mayo de 2021

Figura 5: Mejor predicción basada en cuatro modelos - Tarapacá

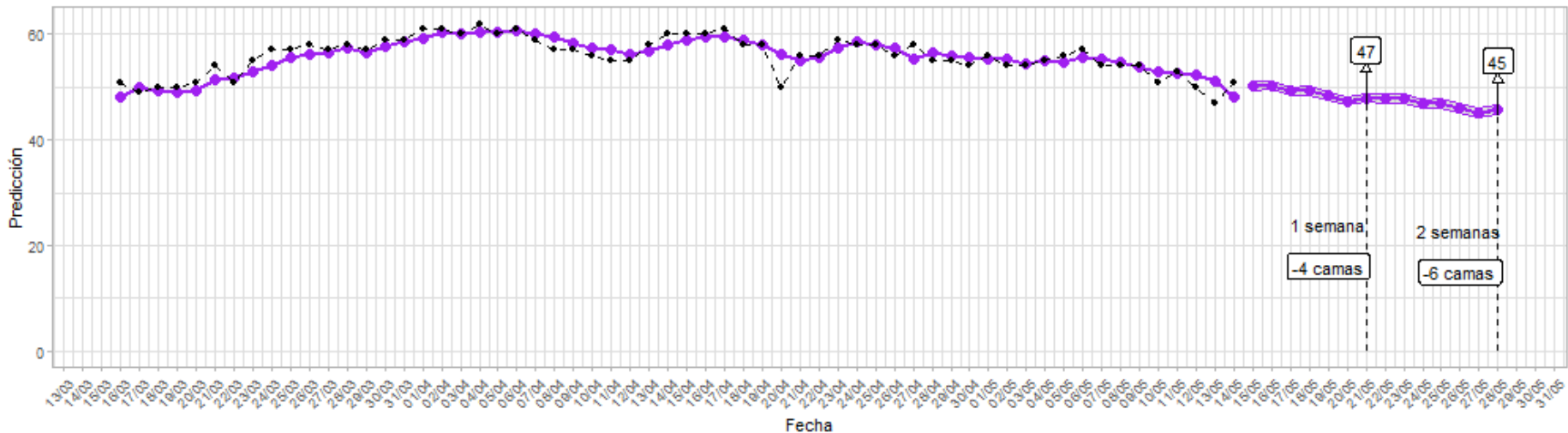
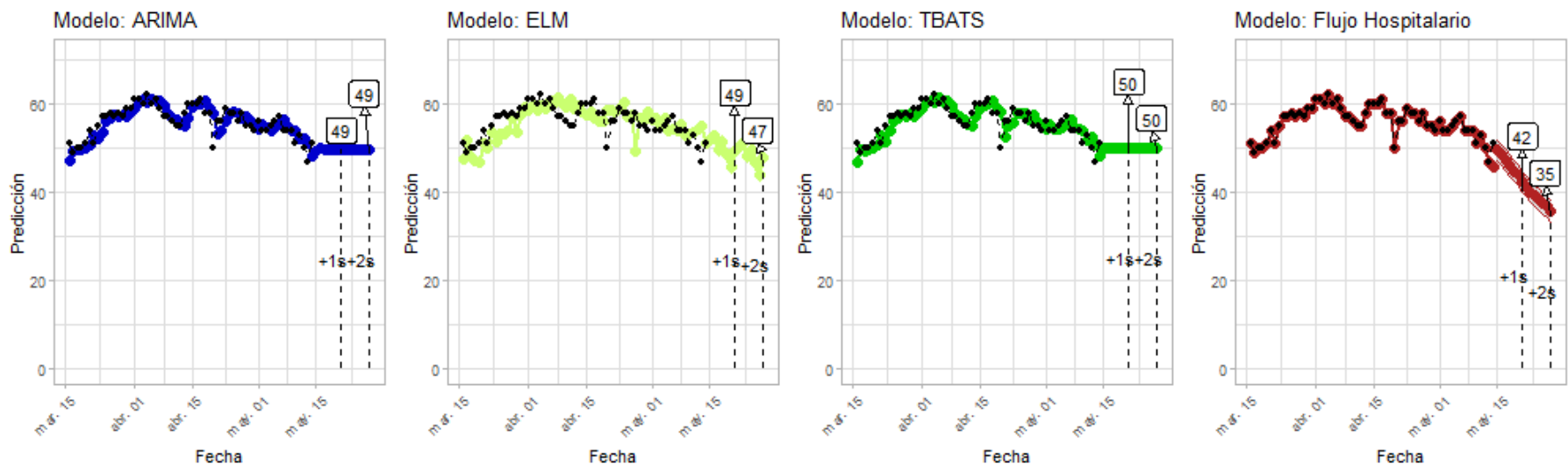


Figura 6: Predicciones de cuatro modelos - Tarapacá



Predicción de demanda de Camas UCI por COVID19 a 2 semanas – Antofagasta

14 de Mayo de 2021

Figura 7: Mejor predicción basada en cuatro modelos - Antofagasta

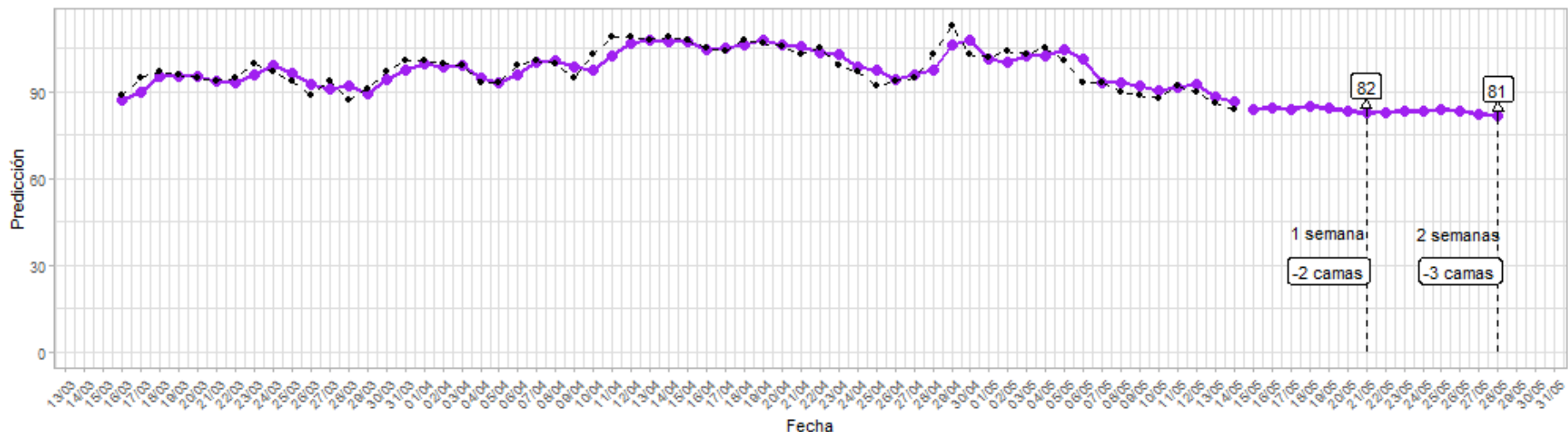
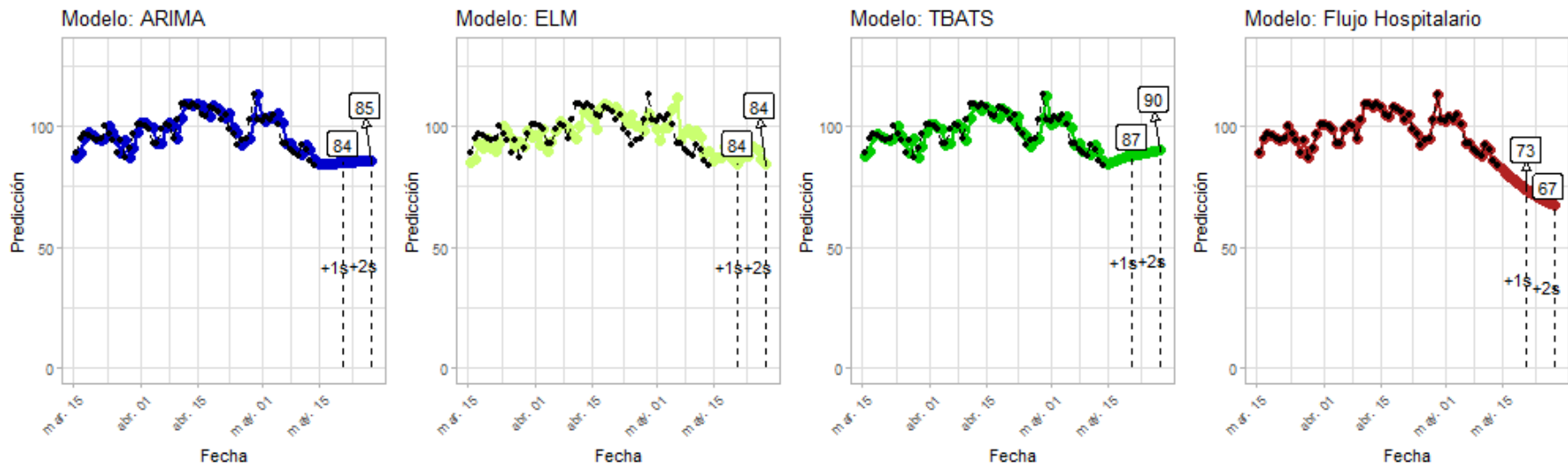


Figura 8: Predicciones de cuatro modelos - Antofagasta



Predicción de demanda de Camas UCI por COVID19 a 2 semanas – Atacama

14 de Mayo de 2021

Figura 9: Mejor predicción basada en cuatro modelos - Atacama

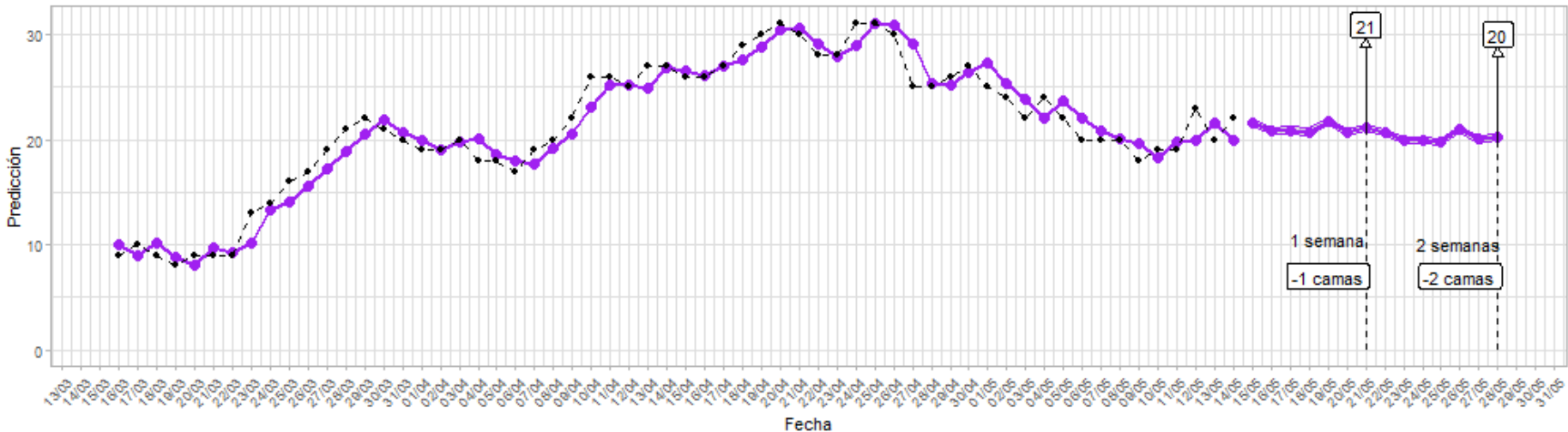
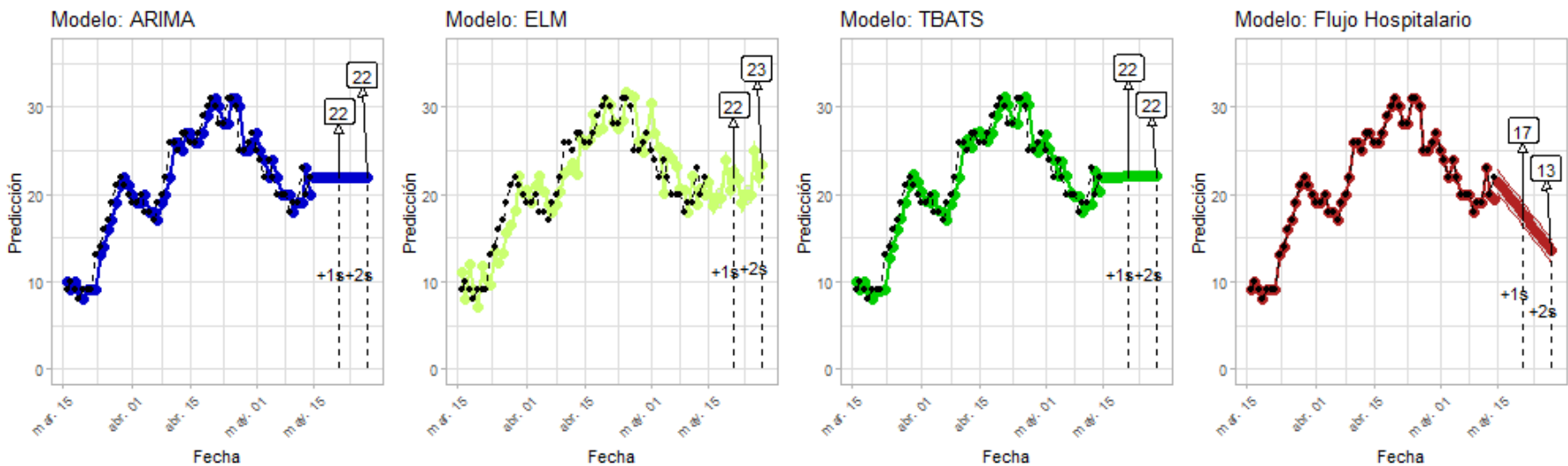


Figura 10: Predicciones de cuatro modelos - Atacama



Predicción de demanda de Camas UCI por COVID19 a 2 semanas – Coquimbo

14 de Mayo de 2021

8

Figura 11: Mejor predicción basada en cuatro modelos - Coquimbo

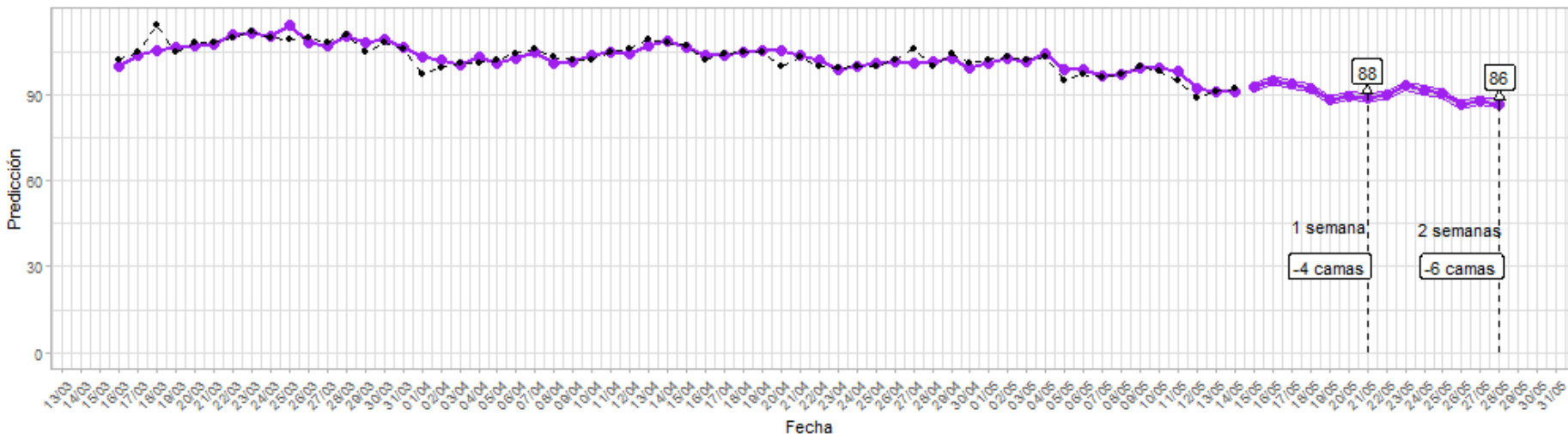
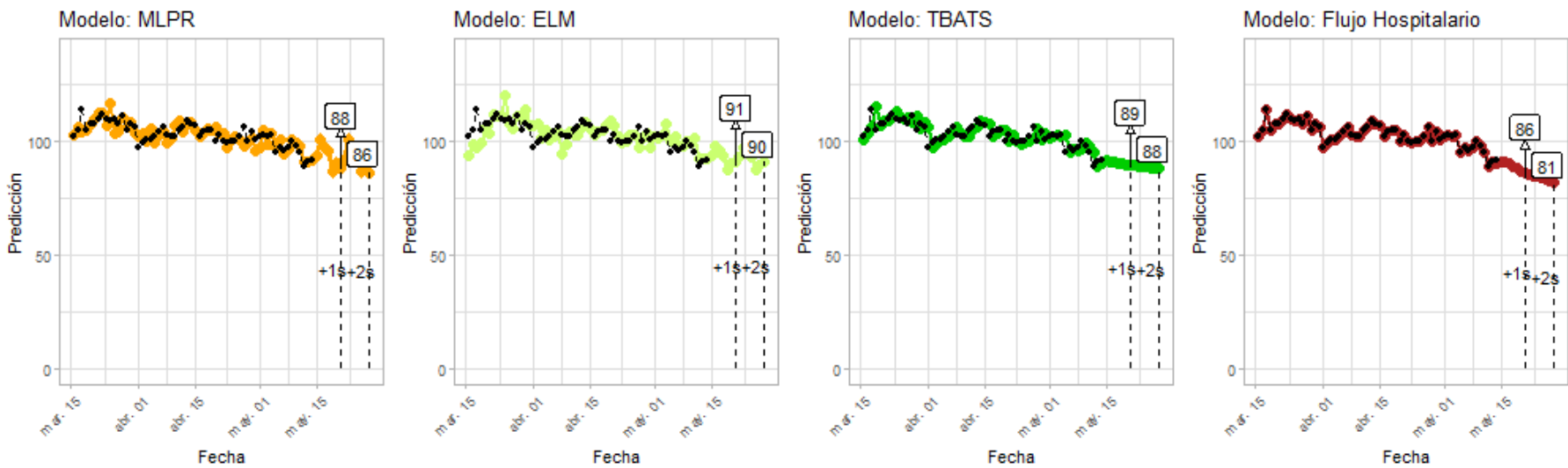


Figura 12: Predicciones de cuatro modelos - Coquimbo



Predicción de demanda de Camas UCI por COVID19 a 2 semanas – Valparaíso

14 de Mayo de 2021

Figura 13: Mejor predicción basada en cuatro modelos - Valparaíso

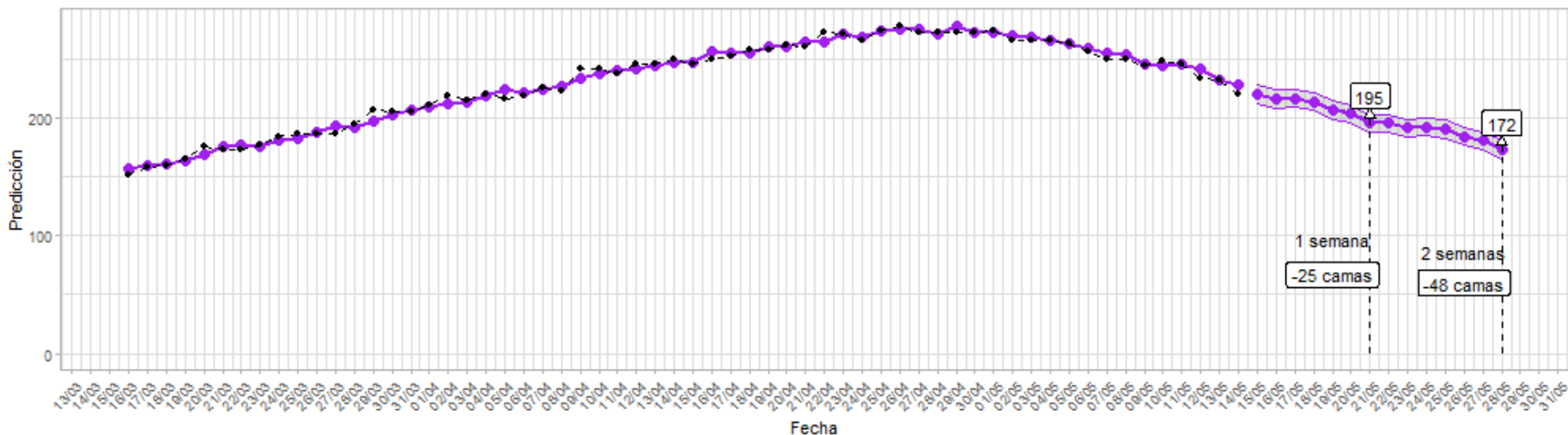
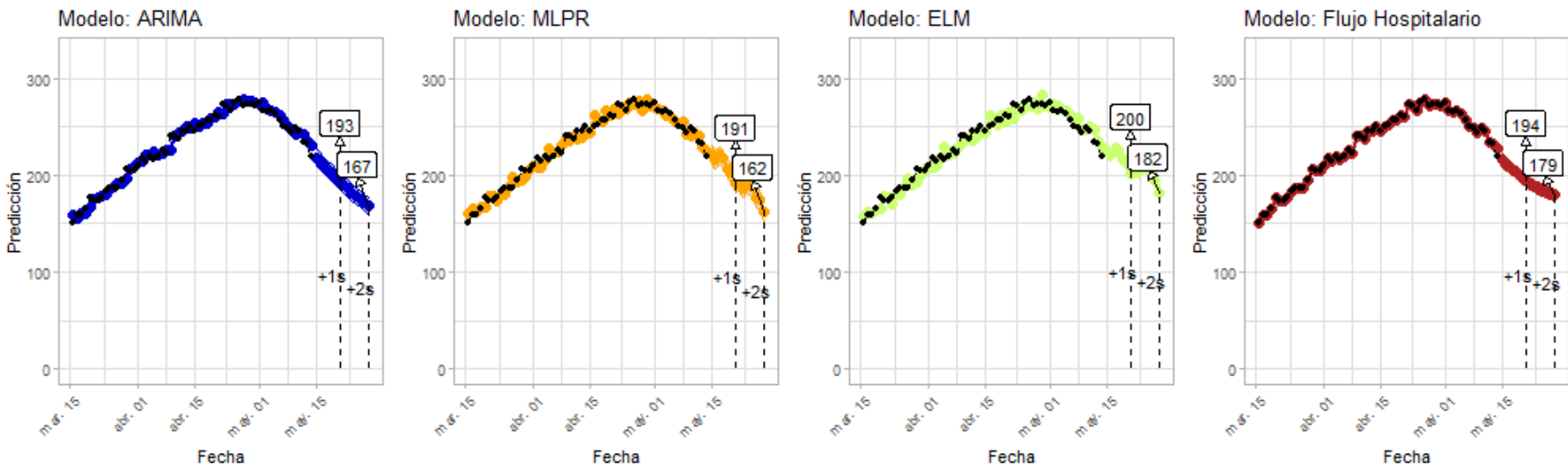
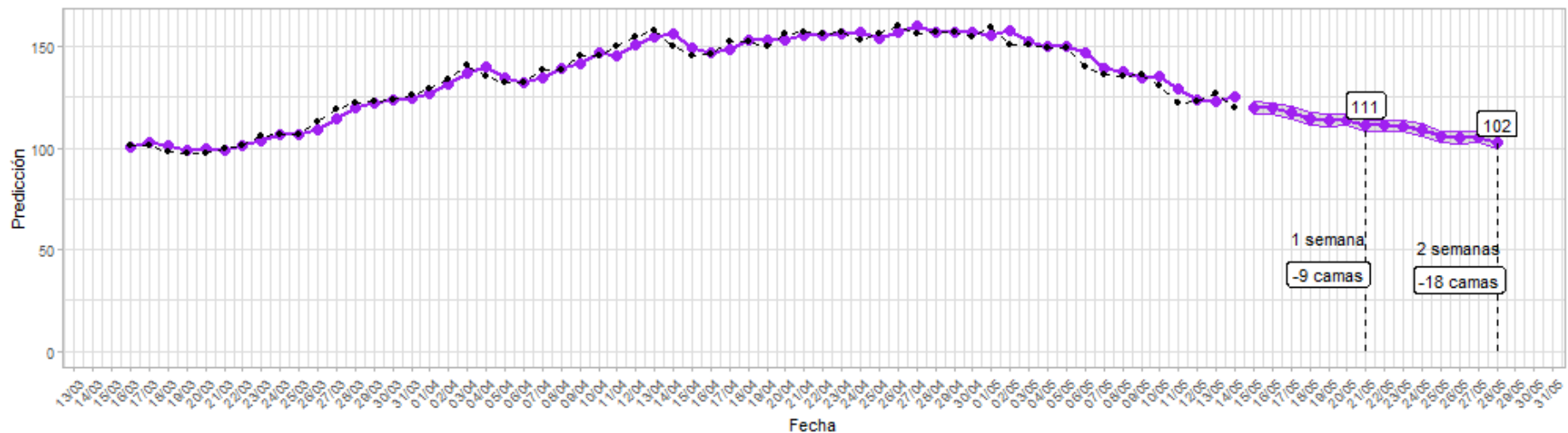
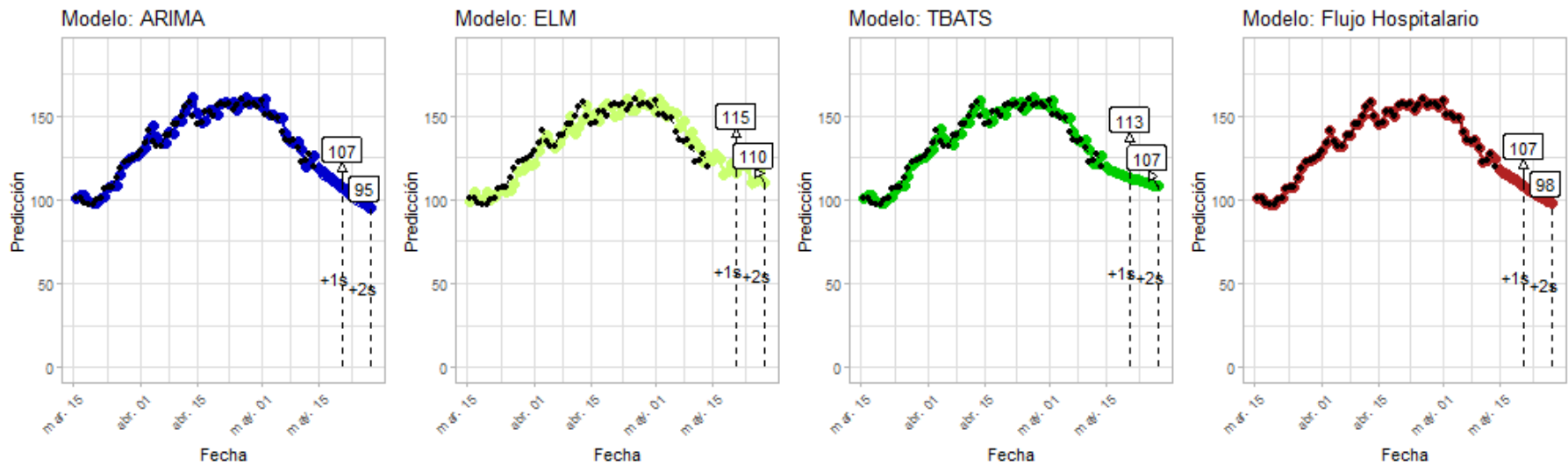


Figura 14: Predicciones de cuatro modelos - Valparaíso



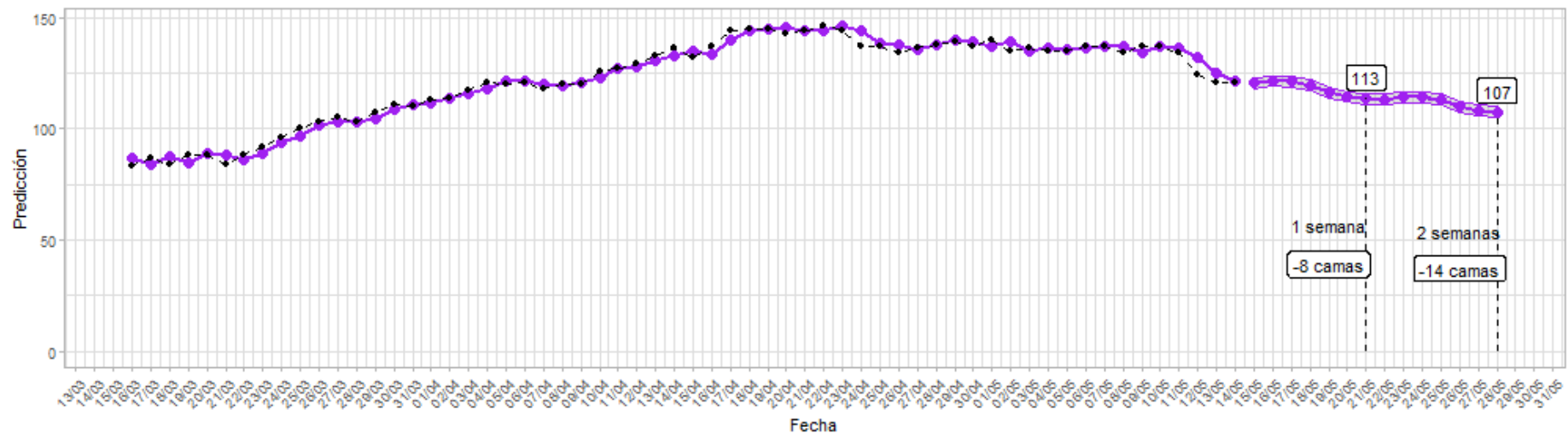
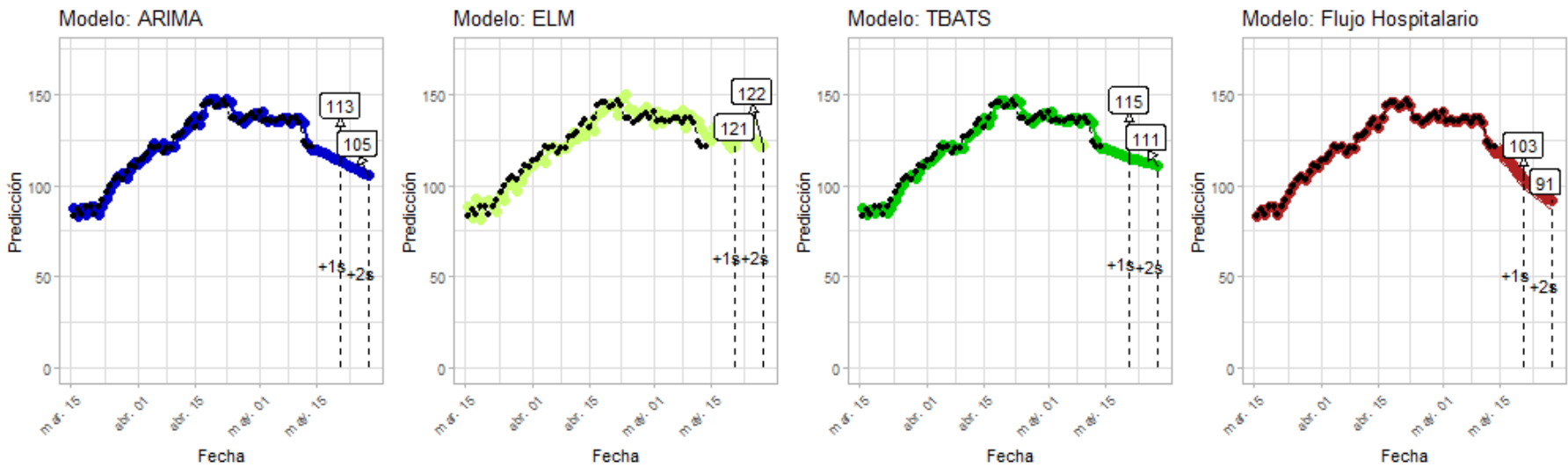
Predicción de demanda de Camas UCI por COVID19 a 2 semanas – O'Higgins

14 de Mayo de 2021

Figura 15: Mejor predicción basada en cuatro modelos – O'Higgins**Figura 16:** Predicciones de cuatro modelos – O'Higgins

Predicción de demanda de Camas UCI por COVID19 a 2 semanas – Maule

14 de Mayo de 2021

Figura 17: Mejor predicción basada en cuatro modelos - Maule**Figura 18:** Predicciones de cuatro modelos - Maule

Predicción de demanda de Camas UCI por COVID19 a 2 semanas – Ñuble

14 de Mayo de 2021

Figura 19: Mejor predicción basada en cuatro modelos - Ñuble

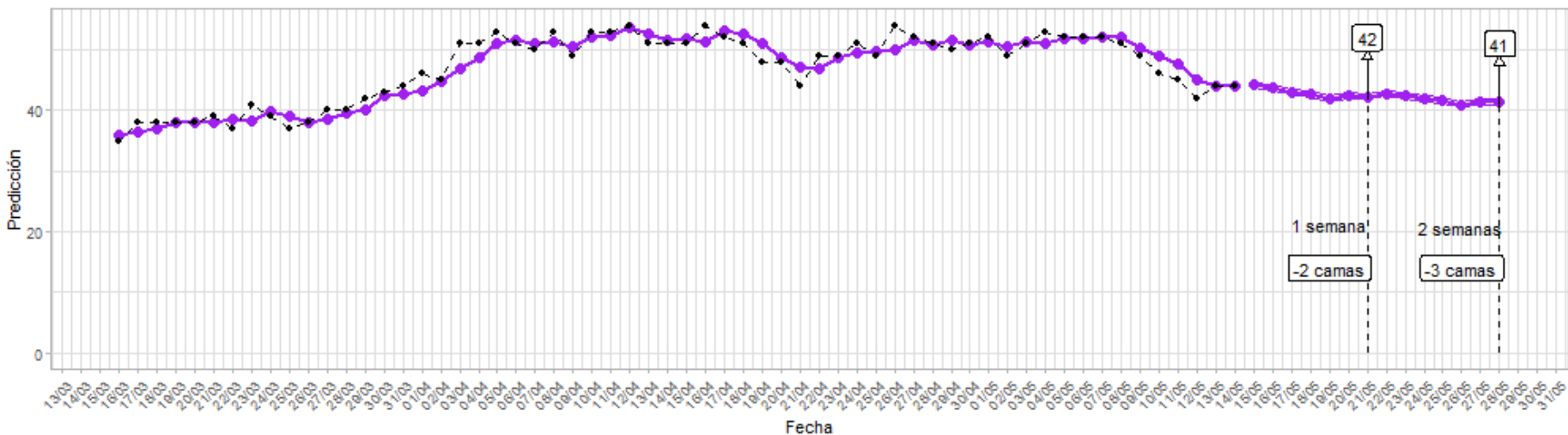
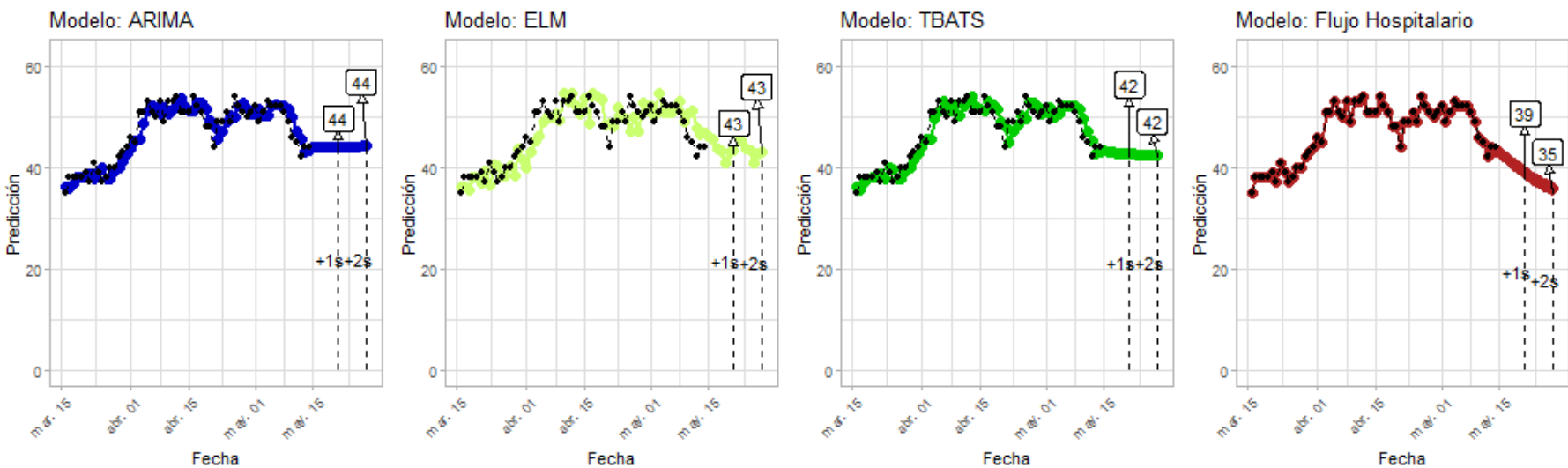


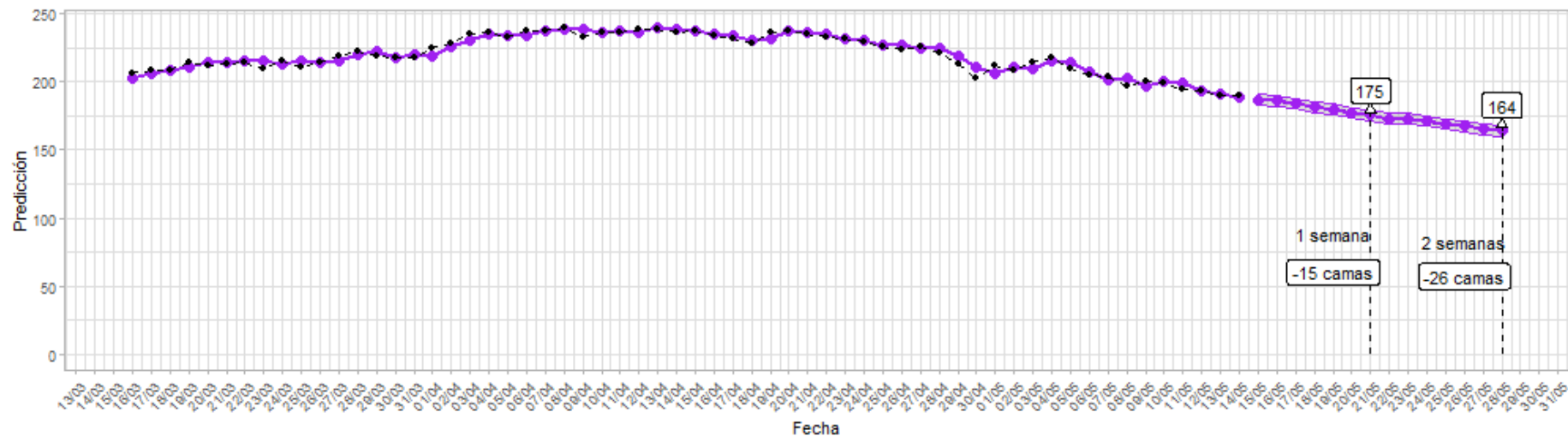
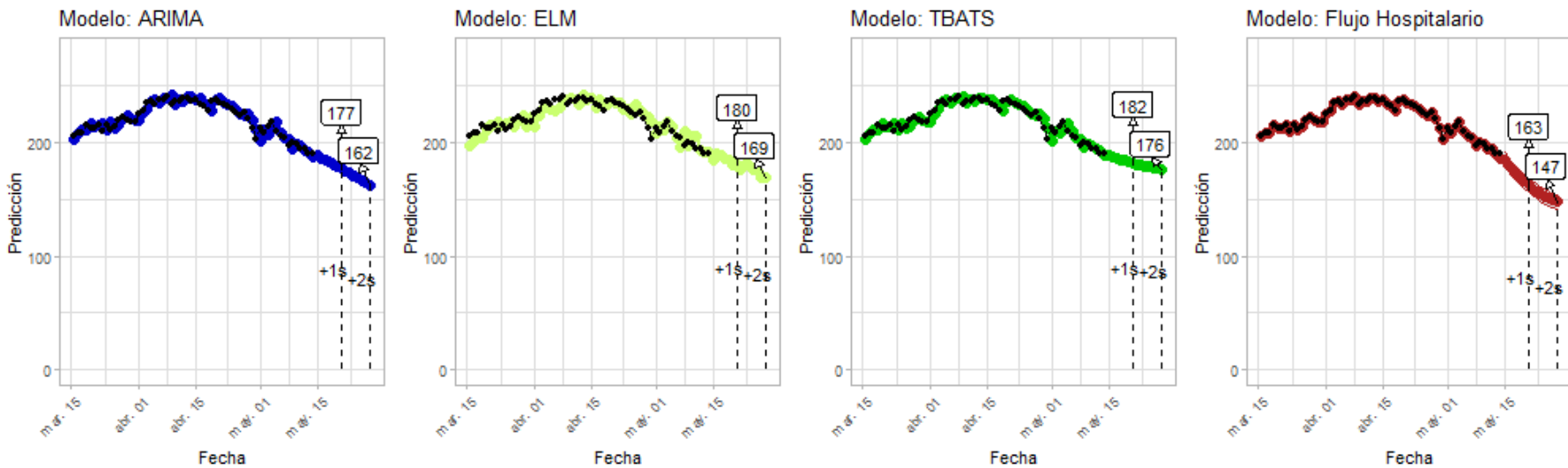
Figura 20: Predicciones de cuatro modelos - Ñuble



Predicción de demanda de Camas UCI por COVID19 a 2 semanas – Biobío

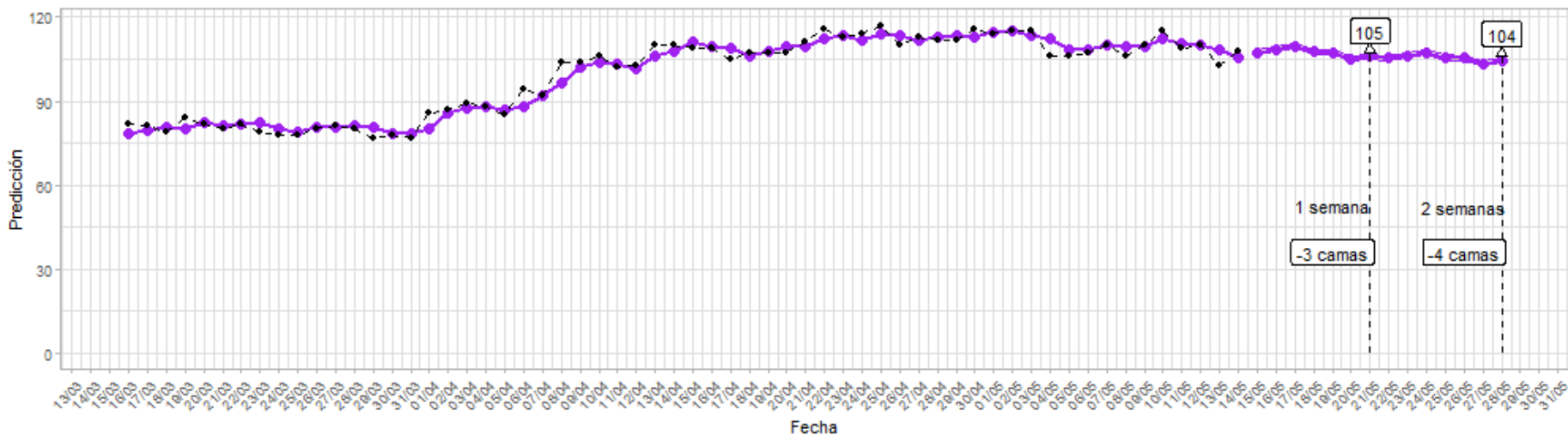
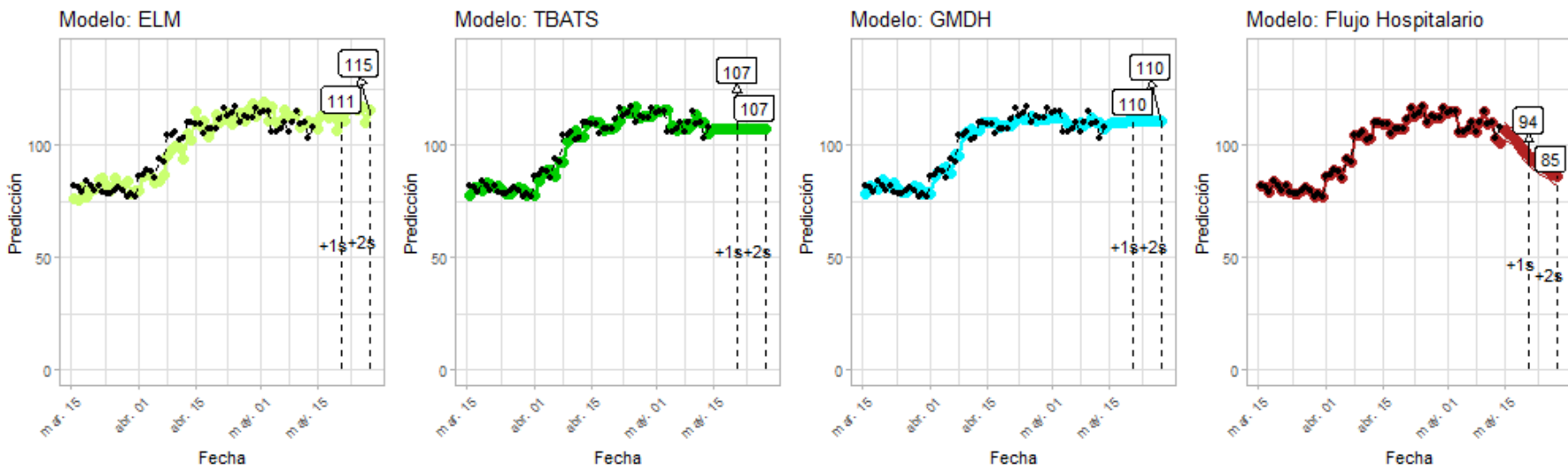
14 de Mayo de 2021

13

Figura 21: Mejor predicción basada en cuatro modelos - Biobío**Figura 22:** Predicciones de cuatro modelos - Biobío

Predicción de demanda de Camas UCI por COVID19 a 2 semanas – Araucanía

14 de Mayo de 2021

Figura 23: Mejor predicción basada en cuatro modelos - Araucanía**Figura 24:** Predicciones de cuatro modelos - Araucanía

Predicción de demanda de Camas UCI por COVID19 a 2 semanas – Los Ríos

14 de Mayo de 2021

Figura 25: Mejor predicción basada en cuatro modelos – Los Ríos

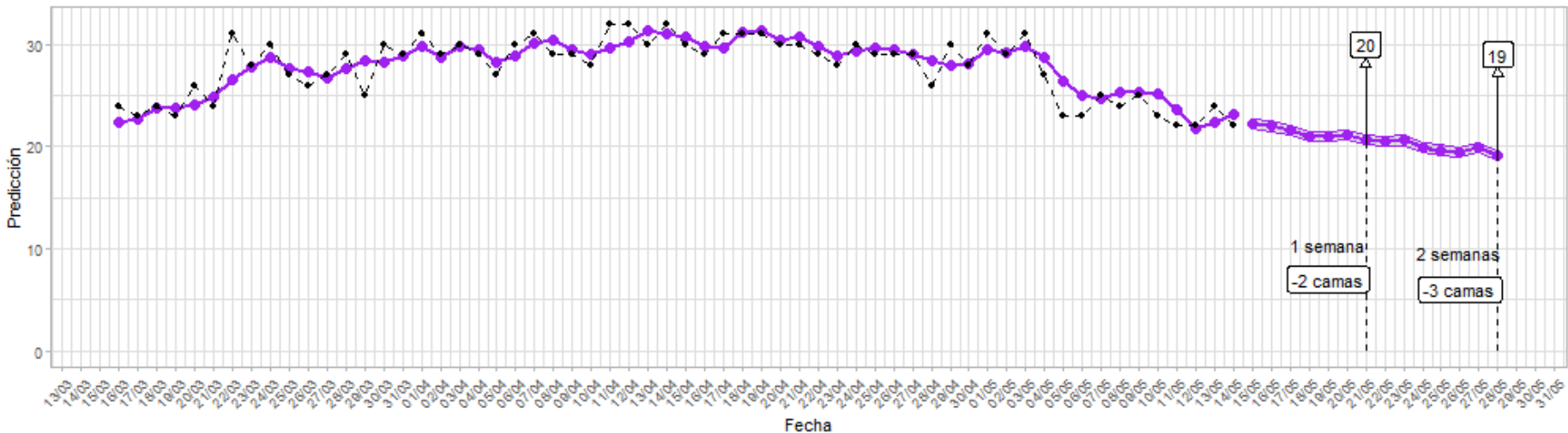
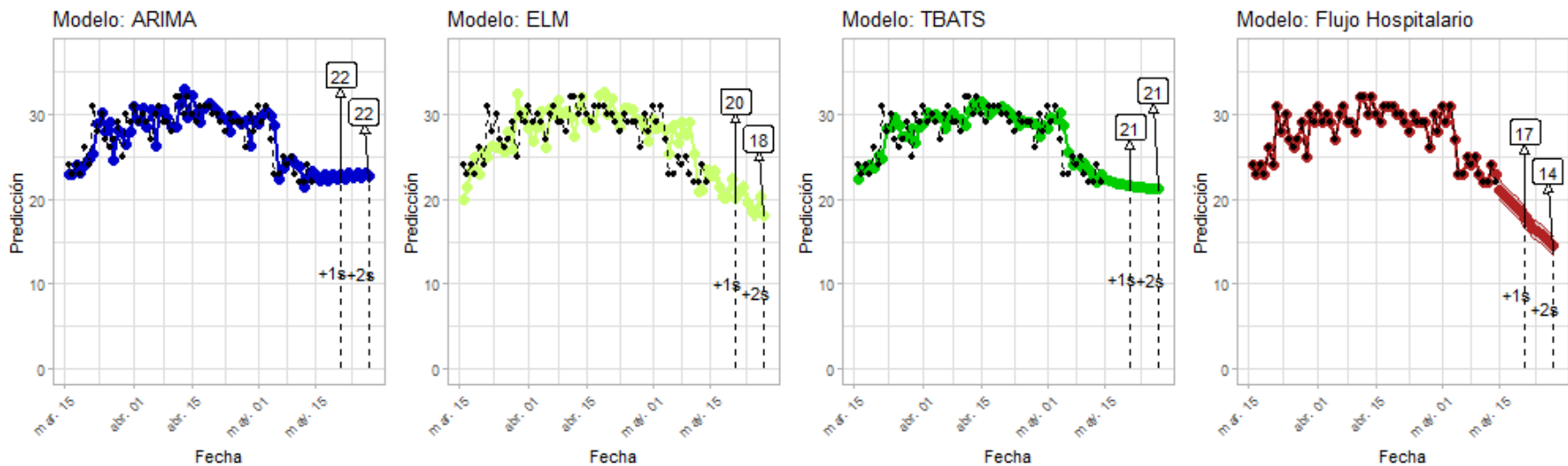


Figura 26: Predicciones de cuatro modelos – Los Ríos



Predicción de demanda de Camas UCI por COVID19 a 2 semanas – Los Lagos

14 de Mayo de 2021

Figura 27: Mejor predicción basada en cuatro modelos – Los Lagos

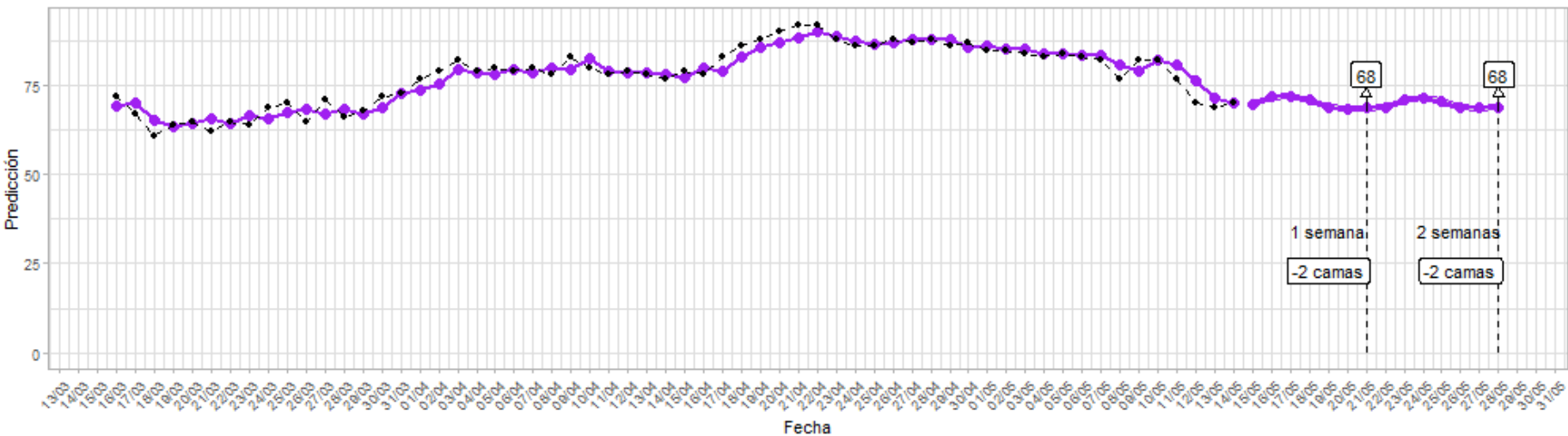
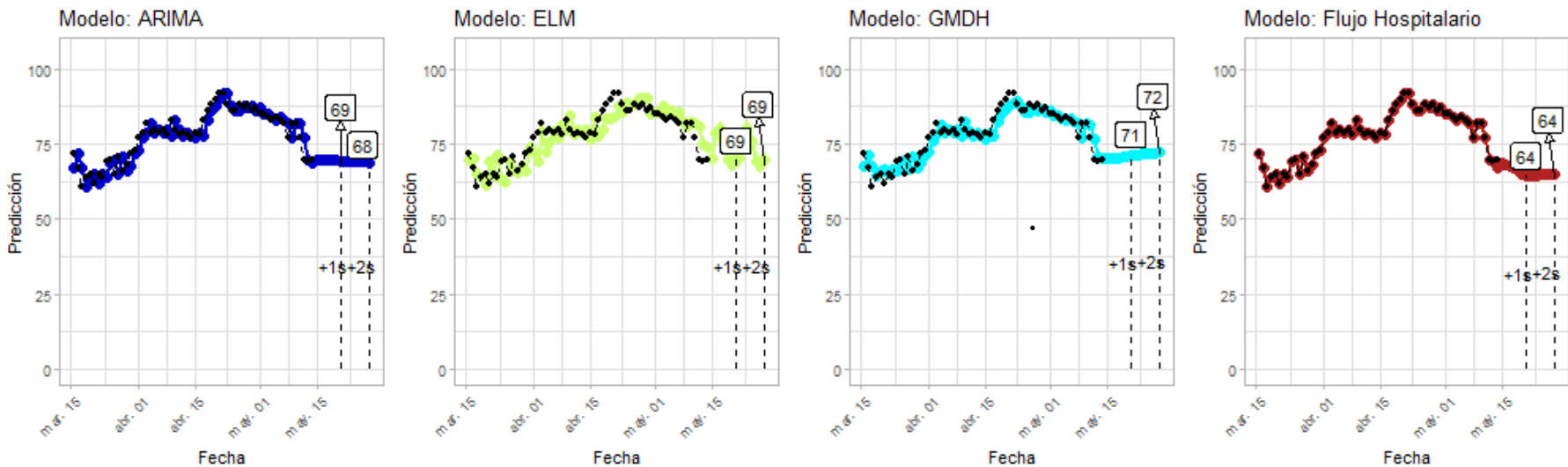
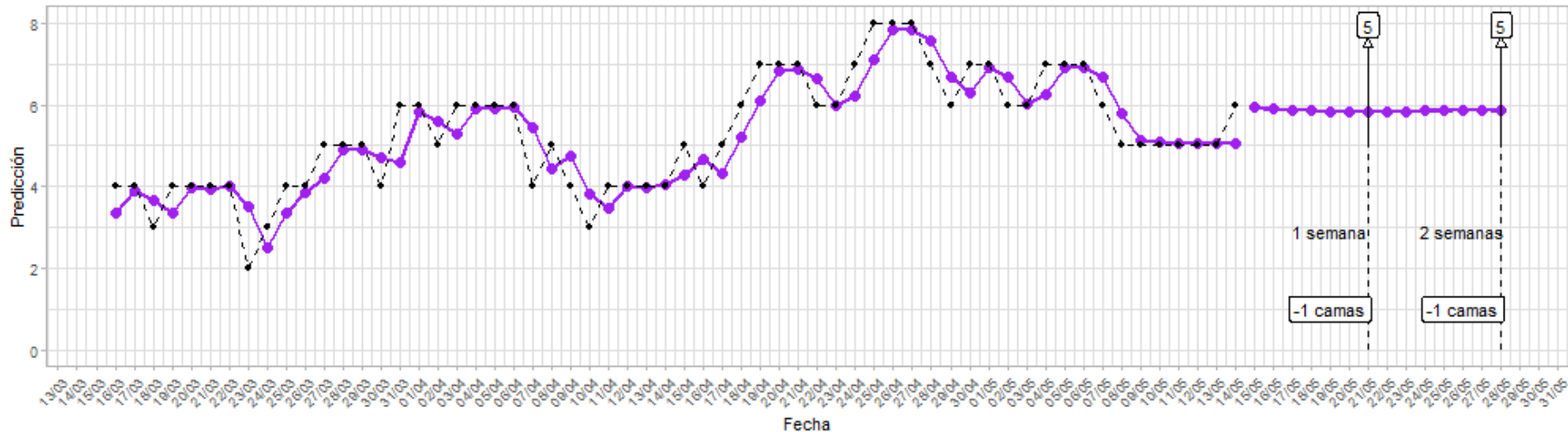
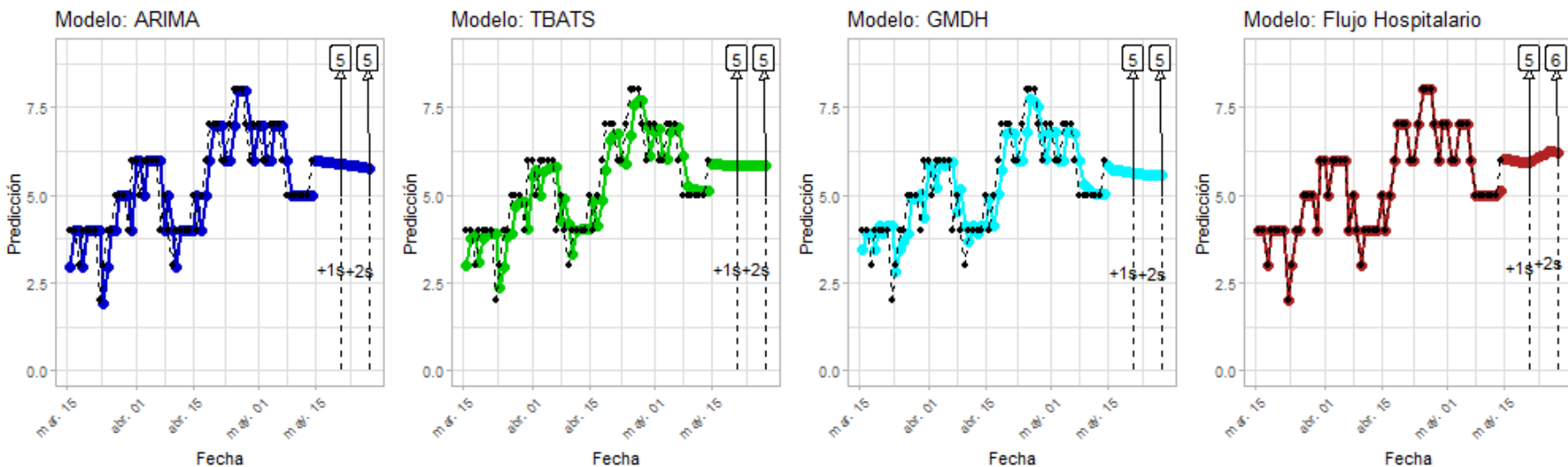


Figura 28: Predicciones de cuatro modelos – Los Lagos



Predicción de demanda de Camas UCI por COVID19 a 2 semanas – Aysén

14 de Mayo de 2021

Figura 29: Mejor predicción basada en cuatro modelos - Aysén**Figura 30:** Predicciones de cuatro modelos - Aysén

Predicción de demanda de Camas UCI por COVID19 a 2 semanas – Magallanes

14 de Mayo de 2021

Figura 31: Mejor predicción basada en cuatro modelos - Magallanes

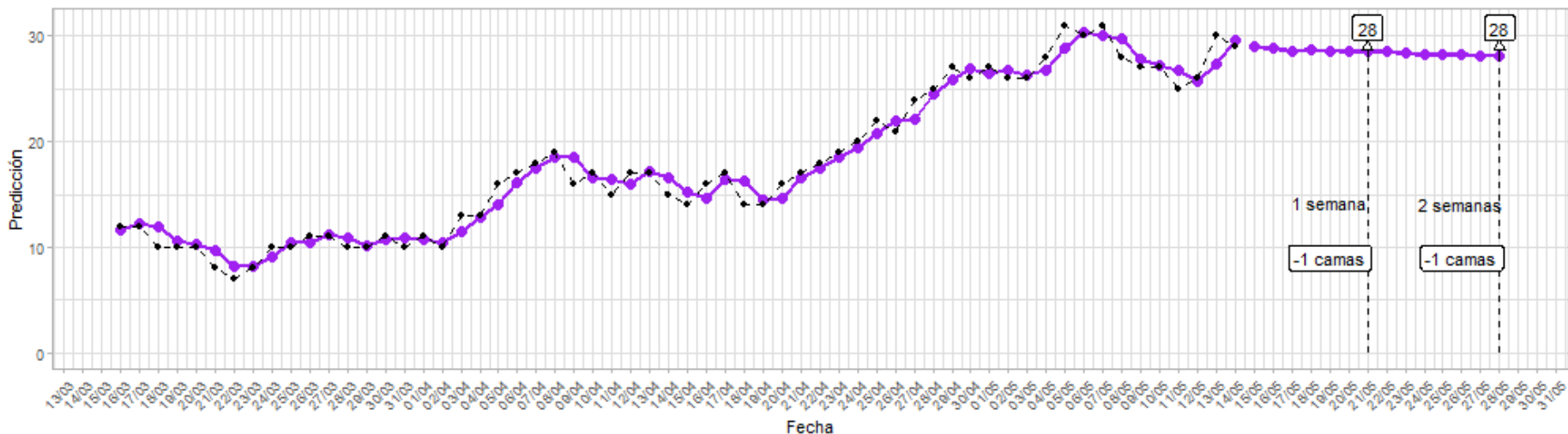
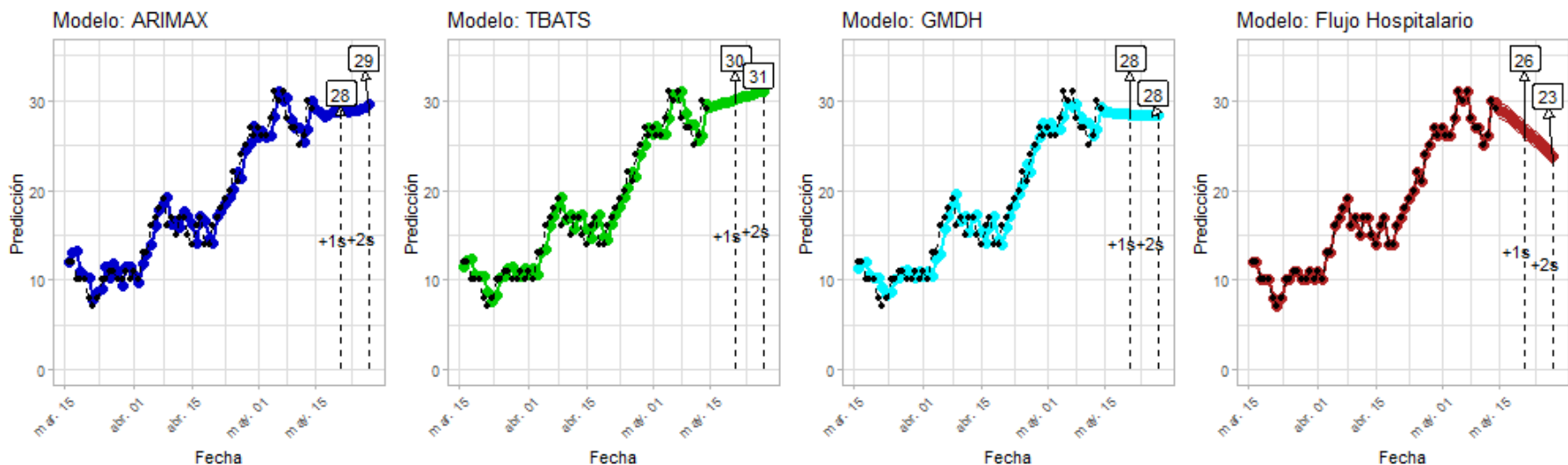


Figura 32: Predicciones de cuatro modelos - Magallanes



Anexo: Modelos Utilizados en la Predicción de Corto Plazo de Camas UCI

En todos los casos se analizan siete modelos, y en cada lámina se reportan los cuatro de mejor ajuste. Esos cuatro modelos se usan para construir lo que consideramos la 'mejor predicción'. Los siete modelos analizados son:

Modelo	Descripción	Información de Entrada
ARIMA	La predicción depende de las observaciones previas y considera errores auto-regresivos.	Serie de utilización camas UCI
TBATS	Descompone la serie para identificar sus factores de tendencia; estacionalidad; y auto-regresivos.	
ARIMAX	Adicional a los supuestos de ARIMA, permite que la serie dependa de otras variables exógenas.	
MLPR	Modelo de redes neuronales que usa todas las variables de entrada y calcula las relaciones entre variables que minimizan el error de entrenamiento.	Serie de utilización camas UCI; serie de nuevos infectados sintomáticos; progreso de vacunación; y serie de tasa de positividad (nuevos test diarios / nuevos casos)
ELM	Modelo de redes neuronales con aprendizaje profundo. Se diferencia del MLPR en la estructura de red que con más capas permite identificar patrones más complejos.	
GMDH	Modelo de redes neuronales con aprendizaje inductivo. Se diferencia de MLPR y ELM porque evalúa automáticamente secuencias de modelos polinomiales para minimizar error de pronóstico.	
FLUJO	Calcula el número de camas haciendo un balance de flujo de nuevos requerimientos de cama y altas. Las entradas y salidas se calculan a partir de número de infectados sintomático y parámetros clínicos, los que se ajustan para maximizar ajuste.	Serie de utilización camas UCI; serie de nuevos infectados sintomáticos; progreso de vacunación; parámetros clínicos de progresión de la enfermedad.

Anexo: Efecto de Vacunación en UCI por COVID-19

Para los modelos autorregresivos y de *machine learning* ingresamos el porcentaje de vacunados como variables explicativas. Para el modelo de flujos hospitalario, consideramos que el progreso en vacunación tienen un efecto en disminuir la probabilidad de requerir camas UCI condicional en estar infectado con síntomas. Para calcular esta probabilidad asumimos que la población puede estar en distintos estados. En esta primera versión solo consideramos tres estados: no estar vacunado (D_0), haber recibido la primera dosis hace más de 2 semanas (D_1) y haber recibido la segunda dosis hace más de dos semanas. El cálculo puede extenderse fácilmente para considerar más estados asociados a la edad, o el tipo de vacuna. Con esto, la probabilidad de requerir UCI en el día t viene dada por:

$$\Pr(UCI_t) = \frac{\Pr(UCI|D0_t)\Pr(D0_t) + \Pr(UCI|D1_t)\Pr(D1_t) + \Pr(UCI|D2_t)\Pr(D2_t)}{\text{Porcentaje de la población con cada vacuna en cada región}}$$

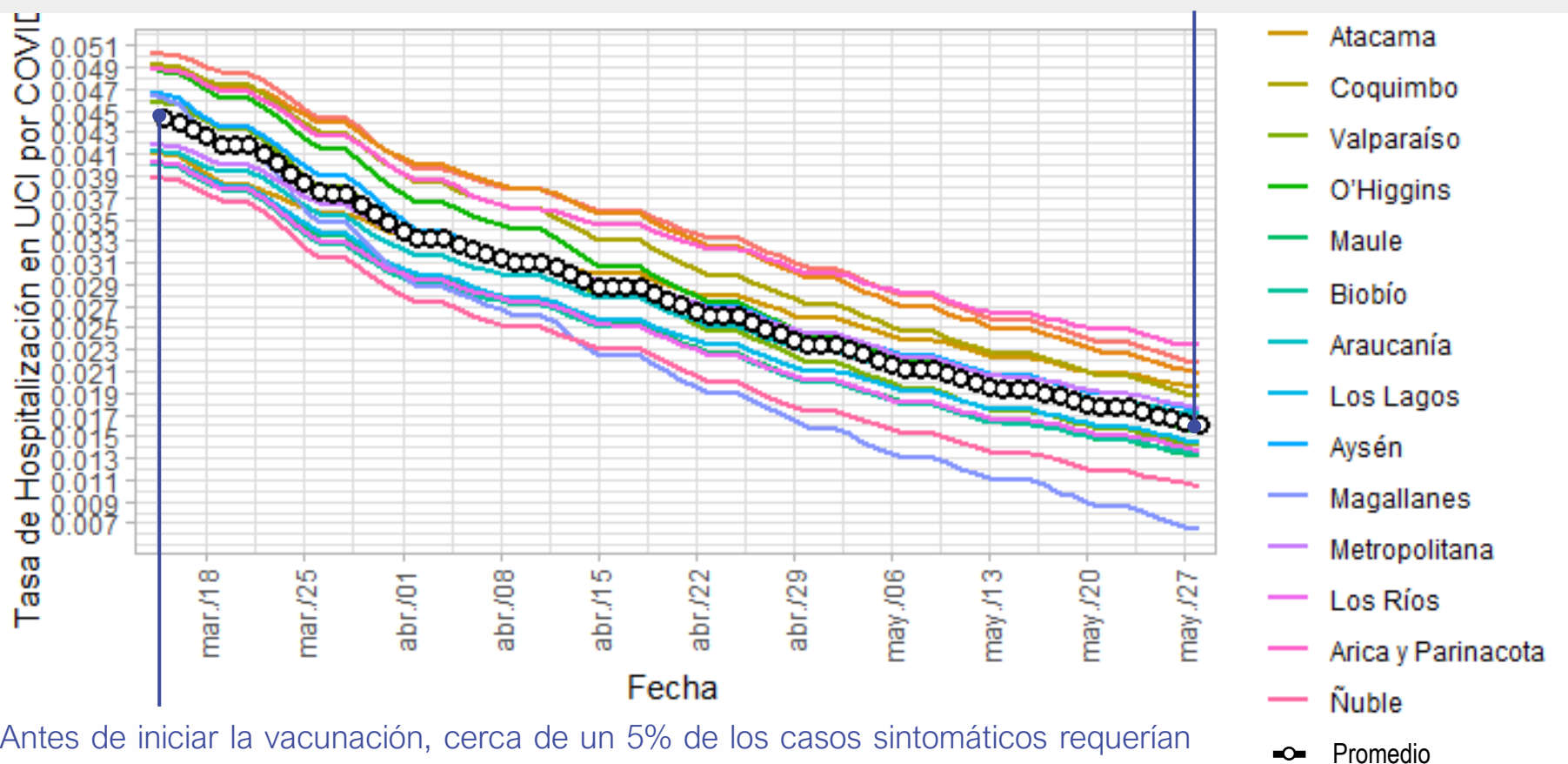
Probabilidad de requerir UCI dependiendo de estado de vacunación:

- $\Pr(UCI | D0) = 0.050$
- $\Pr(UCI | D1) = 0.025$
- $\Pr(UCI | D2) = 0.005$

Anexo: Cálculo de probabilidad de hospitalización en UCI por COVID-19

Las probabilidades de base requerir camas UCI se obtienen de la literatura clínica. Sin embargo, permitimos que el modelo ajuste de modo que algunas regiones puedan ingresar más o menos pacientes a UCI

A finales de abril la probabilidad de requerir UCI baja en promedio un 50%.
Esto es entrada a UCI, pero uso de camas demora más en disminuir.



Antes de iniciar la vacunación, cerca de un 5% de los casos sintomáticos requerían UCI. El ajuste numérico sugiere alguna diferencia entre regiones.